

# مطالعه‌ی آزمایشگاهی تأثیر ضربی شکل مخزن در خصوصیات سیلاپ ناشی از شکست سدها

طاهره سادات میرمحمد حسینی (کارشناس ارشد)

احمد طاهرشمسی (دانشیار)

سید مجید الدین میرمحمد حسینی\* (استاد)

دانشکده‌ی هندسی عمران و محیط زیست، دانشگاه صنعتی امیرکبیر

مهمشی عرض شرف، (پیاپی ۱۳۹۵) دری ۲ - ۳، شماره ۲ / ۱۰ ص. ۱۱۹-۱۲۵، (پادشاهیت فنی)

هدف از این پژوهش، یافتن ارتباط بین ضربی شکل مخزن سدها و خصوصیات جریان سیلاپ به ویژه عدد فرود در پدیده شکست سد بهوسیله‌ی یک مدل فیزیکی است. به این منظور، آزمایش‌ها بر روی یک مدل فیزیکی شبیه‌سازی پدیده شکست سد در آزمایشگاه هیدرولیک دانشگاه صنعتی امیرکبیر انجام شده است. اندازه‌گیری سرعت در نقاط مختلف کاتال به وسیله‌ی سرعت‌سنج ADV و اندازه‌گیری تغییرات سطح آب به وسیله‌ی حسگرهای آلتراسونیک انجام شده است. با داشتن تغییرات سرعت و تغییرات تراز سطح آب، دبی ناشی از شکست سد محاسبه شده و هیدروگراف مربوط برای هر یک از ضربی شکل مخازن ترسیم شده است. آنگاه رابطه‌ی بین عدد فرود و ضربی شکل مخزن سد به دست آمده است. نتایج آزمایشگاهی در مقایسه با نتایج داده‌های شکست واقعی سدها در گذشته، نشان داده است که روند تغییرات سازگاری مناسبی با نتایج جمع‌آوری ناشی از شکست سدها دارد.

tahere\_mirhosseini@yahoo.com  
tshamsi@aut.ac.ir  
mirmh5@yahoo.com

واژگان کلیدی: شکست سد، ضربی شکل مخزن، مدل فیزیکی، حسگر آلتراسونیک، حسگر ADV.

## ۱. مقدمه

دقیق نظری برای تعیین این دبی و در نتیجه هیدروگراف خروجی ناشی از شکست سد وجود ندارد. در مطالعات پیشین با توجه به آمار و اطلاعات مربوط به شکست سدها در جهان یک رابطه‌ی تجربی بین عدد فرود تعریف شده براساس بیشینه‌ی دبی مشاهده شده از شکست سد و یک عدد بی‌بعد (ضربی شکل مخزن) به دست آمده است. با توجه به اینکه در آمار شکست سدها ممکن است انواع و اقسام عدم قطعیت و خطاهای وجود داشته باشد، در این پژوهش به صورت آزمایشگاهی، پدیده شکست سد در حالت ناگهانی مدل‌سازی شده و هیدروگراف سیل ایجاد شده، در بازه‌ی وسیعی از عدد ضربی شکل مخزن، به دست آمده است.  
پژوهش‌های مختلفی تا به حال در مورد موضوع شکست سد مطالعاتی انجام شده است، از جمله در پژوهشی در سال ۱۹۵۴، اولین داده‌های آزمایشگاهی برای شکست سد به صورت آنی در یک فلوم افقی، مستطیلی، و مستقیم موردن بررسی قرار گرفته است.<sup>[۱]</sup> همچنین در پژوهش دیگری در سال ۱۹۹۲، به بررسی جریان‌های دو بعدی ناشی از شکست سد در کاتال‌های انحنای دار در آزمایشگاه پرداخته شده است.<sup>[۲]</sup>  
در پژوهشی در سال ۱۹۹۸ نیز به مطالعه‌ی موج ناشی از شکست سد در یک کاتال افقی به صورت آزمایشگاهی پرداخته و با نتایج تحلیلی روش مشخصه مقایسه شده است.<sup>[۳]</sup> پژوهشگرانی نیز در سال ۲۰۰۲، به بررسی مسئله‌ی شکست

احداث سد، فواید و مزایای زیادی برای جامعه‌ی بشری دارد، اما سیلاپ ناشی از شکست سدهای بزرگ معمولاً خسارت‌های قابل توجه و فاجعه‌باری را به همراه خواهد داشت.

مطالعات شکست سد و روندیابی سیلاپ ناشی از آن به همراه تعیین مناطق بحرانی در پایان دست سد در مطالعات دانشگاهی، برنامه‌ریزی دولت و سرمایه‌کذاری در پایاب سدها اهمیت بسیاری دارد. برای مدیریت اینمی مسائل مربوط به شکست سدها، تخمین دقیق پارامترهای مؤثر در استهلاک موج ناشی از فروپاشی سدها به کار برده می‌شود و با وجود نظرات‌های دقیقی که در کلیه‌ی مراحل احداث سد صورت می‌گیرد، امکان شکست و فروپاشی در اثر عوامل مختلف و متعدد وجود دارد. اطلاع قبلی از چگونگی سیلاپ حاصل از شکست سد می‌تواند نواحی آسیب‌پذیر پایین دست را، که در معرض خطر سیلاپ قرار دارد، مشخص و به آماده‌سازی مؤسسات مسئول قبل از وقوع این فاجعه کمک کند.

مطالعات مربوط به برآورده خسارت ناشی از شکست سد، یکی از بخش‌های مهم کارهای مهندسی مربوط به سدهای بزرگ است. روش‌های مختلف تجربی - تئوری برای برآورد بیشینه‌ی دبی ناشی از شکست سد وجود دارد، لیکن تاکنون یک روش

\* نویسنده مسئول

تاریخ: دریافت ۱۲/۱۱/۱۳۹۲، اصلاحیه ۲/۲/۱۳۹۳، پذیرش ۲/۳/۱۳۹۳، ۲۷

## ۲. آزمایش‌ها

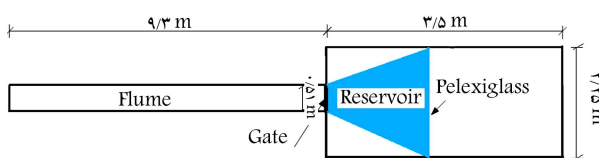
به منظور شناخت بهتر از مسئله‌ی پدیده‌ی شکست ناگهانی سدها، موضوع مذکور در آزمایشگاه هیدرولیک دانشگاه صنعتی امیرکبیر به صورت فیزیکی مدل‌سازی شده است. برای پوشش دادن اعداد ضریب شکل مخزن، ۷ سری مخزن با ضرایب شکل مختلفی در بازه‌ی  $40 \text{ cm}$  الی  $56 \text{ cm}$  ساخته و آزمایش‌ها بر روی همه‌ی آن‌ها انجام شده است. اندازه‌گیری تغییرات تراز سطح آب توسط حسکرهای آلتراسونیک انجام و برای اندازه‌گیری سرعت در جهت  $x$  از دستگاه سرعت‌سنج ADV استفاده شده است.

## ۳. مخزن و فلوم استفاده شده

جهت انجام آزمایش‌های مربوط به شکست سد از یک مخزن با قابلیت شکل‌دهی مختلف و فلومی مستطیل شکل با عرض ۵۱ و ارتفاع ۷۵ سانتی‌متر و نیز طول  $9/30$  متر استفاده شده است. فلوم موردنظر در پژوهش‌های پیشین ساخته و بهینه شده است،<sup>[۱۵]</sup> به نحوی که کف کanal و چداره‌ی فلوم از جنس شیشه به خدامت ۱۰ میلی‌متر بوده و اصول آب‌بندی در آن کاملاً رعایت شده است. ضریب زیری بستر (مانینگ) در شرایط جریان دائمی در فلوم برابر  $1/۰$  تخفین زده شده است. فلوم موردنظر از سمت بالا است به یک مخزن قابل تغییر با طول و عرض اولیه به ترتیب  $3/5$  و  $2/25$  متر متصل شده است. کف و دیواره‌های مخزن از جنس ورق گالوانیزه  $4$  میلی‌متری بوده و به گونه‌ی ساخته شده است که از لحظه آب‌بندی کامل باشد. علت استفاده از ورق گالوانیزه، جلوگیری از زنگزدگی است. مخزن ساخته شده،  $2$  سیستم تغذیه از بالا و پایین و  $3$  سیستم زهکشی و تخلیه‌ی آب دارد. آب از منبع تغذیه‌ی اصلی که یک مخزن زیرزمینی است، از طریق یک پمپ با ظرفیت آب‌دهی  $200$  مترمکعب در ساعت کشیده شده و با استفاده از لوله‌ی  $4$  اینچ از بالا و لوله‌ی  $3$  اینچ از پایین، وارد مخزن موردنظر می‌شود. در آزمایش‌های انجام شده در این پژوهش، جهت تأمین ضرایب شکل مخزن، داخل مخزن گالوانیزه، مخزنی دیگر با دیواره‌هایی از جنس پلاکسی‌گلاس به شکل ذوزنقه با مساحت‌های مختلف ساخته شده و آزمایش‌ها به کمک آن مخازن صورت گرفته است. تصویری از مخزن و فلوم آزمایشگاهی استفاده شده در شکل  $1$  ارائه شده است. در شکل  $2$  نمایی کلی از تجهیزات آزمایشگاهی و در شکل  $3$  نمونه‌ی از حسکر آلتراسونیک نصب شده و در طول کanal ارائه شده است.

## ۴. ایجاد مکانیزم شکست سد

برای اینکه بتوان پدیده‌ی شکست سد را در آزمایشگاه مدل کرد، براساس معیار لابر و همگر (۱۹۹۸)، زمان بازشدگی دریچه باید از مقدار  $\sqrt{\frac{2h}{g}}$  کمتر شود، که در این رابطه  $h$ ، ارتفاع آب بالا است در مخزن سد است. در این پژوهش ارتفاع آب مخزن



شکل ۱. تصویری از مخزن و فلوم آزمایشگاهی استفاده شده.

سد به صورت آزمایشگاهی و عددی در یک خم  $90$  درجه پرداخته<sup>[۴]</sup> و داده‌های اندازه‌گیری شده با نتایج عددی را، که توسط روش حجم محدود محاسبه شده بود، مقایسه کردند.

همچنین در پژوهشی در سال  $2002$ ، جریان شکست سد در یک کanal صاف وافقی با مایع لزج مطالعه و آزمایش‌هایی با مایع لزج نیوتونی، به عنوان مثال شربت گلوکز انجام شده است.<sup>[۵]</sup> در پژوهش مذکور به تأثیر ویژگی‌های جدید از رژیم جریان و تأثیر طول مخزن و همچنین مایع چسبناک بر روی انتشار جریان پرداخته شده و در انتهای، معادلات جریان شکست سد به صورت بی‌بعد در آورده شده و سپس با نتایج حاصل از آزمایش‌ها مقایسه شده است. در سال  $2004$  پژوهشگران، برای تحلیل دبی اوج هیدرولیک، فاکتور شکل جدیدی را براساس مشخصات هندسی مخزن ارائه کردند و نتیجه گرفته‌اند که ارتباط خوبی بین دبی پیک، عدد فرود و این ضریب شکل وجود دارد.<sup>[۶]</sup> همچنین برخی پژوهشگران در سال  $2006$ ، به مطالعه‌ی اساسی از امواج شکست سد با مایع لزج پرداخته‌اند.<sup>[۷]</sup> در پژوهش‌هایی در سال  $2007$  نیز محققان به بررسی گسترش موج ناشی از شکست سد در اطراف یک برآمدگی مشتملی در بستر به صورت آزمایشگاهی،<sup>[۸]</sup> و یا به بررسی یک بعدی جریان ناشی از شکست سد بر روی بسترها قابل فرسایش پرداخته و نتایج به دست آمده با مدل‌های عددی موجود را مقایسه کردند،<sup>[۹]</sup> و در سال  $2007$  به مطالعه‌ی آزمایشگاهی امواج شکست سد روی بستر متحرک در مقیاس کوچک پرداخته شده است.<sup>[۱۰]</sup>

در پژوهش دیگری در سال  $2008$ ، نیز به مطالعه‌ی جریان ناشی از شکست سد و برداشت داده‌های تجربی از طریق شیوه‌ی تصویربرداری و مدل‌سازی عددی دو بعدی پرداخته شده و نتایج تجربی و دو بعدی مدل‌سازی عددی مربوط به  $4$  آزمون، که شامل سرعت متغیر جریان ناشی از بازشدن ناگهانی دریچه است، ارائه و جهت برداشت داده‌های تجربی، از شیوه‌ی تصویربرداری که قادر به برداشت و ارائه اطلاعات گستره است، استفاده شده است.<sup>[۱۱]</sup> پژوهشگری نیز در سال  $2008$ ، به مطالعه‌ی نتایج حاصل از یک مطالعه‌ی تجربی از امواج تولیدشده‌ی ناشی از  $2$  مدل شکست سد پرداخته و نتایج پژوهش وی نشان داده است که سرعت انتشار امواج در پایاب، به میران قابل توجهی تحت تأثیر تلفات انزی جریان ناشی از شکست است.<sup>[۱۲]</sup>

همچنین برخی پژوهشگران در سال  $2009$ ، به مطالعه‌ی آزمایشگاهی بیشینه‌ی تراز و زمان یک جریان شکست سد در بستر افقی متحرک پرداخته‌اند.<sup>[۱۳]</sup> یک مطالعه‌ی تجربی نیز در سال  $2011$ ، بر روی امواج شکست سد در مخازن رسوبی انجام شده است.<sup>[۱۴]</sup> در پژوهش دیگری در سال  $2012$ ، نیز به مطالعه‌ی تأثیر هندسه‌ی مخزن در جریان ناشی از شکست سد پرداخته شده و  $4$  شکل مخزن با ضریب شکل پلاکسان، به صورت مستطیل طویل، مستطیل عریض، ذوزنقه‌یی، و خم  $90$  درجه مورد مطالعه قرار گرفته و آزمایش‌ها بر روی  $4$  مخزن انجام شده است.<sup>[۱۵]</sup> علی‌رغم پژوهش‌های انجام شده و مطالعات در دست انجام درخصوص مسائل و عوارض ناشی از سیلاب شکست سدها، به دلیل تنوع و تعدد عوامل اثرگذار در این پدیده از یک سو و محدود بودن داده‌های واقعی مربوط به شکست سدها از سوی دیگر، نیاز به بسط و گسترش دامنه‌ی پژوهش‌ها جهت تدقیق و توسعه‌یافته‌ها امری کاملاً ضروری است.

در این پژوهش، تأثیر ضریب شکل مخزن در جریان شکست سد با استفاده از یک مدل فیزیکی مورد بررسی قرار گرفته و هیدرولیک خروجی جریان ناشی از شکست سد به دست آمده است. در انتهای رابطه‌ی بین ضریب شکل مخزن و عدد فرود معرفی شده است.

حرکت و قائم بودن مسیر، در هر طرف دریچه‌ی موردنظر، ۴ عدد بلبرینگ به همراه دو شفت در دو رویت به فاصله‌ی ۲۰ سانتی‌متری از یکدیگر به کار رفته است.

طراحی جک پنوماتیکی براساس وزن دریچه، مقدار فشار هوای تولیدی برای حرکت جک، مقدار نیروی اصطکاک در شیار، مقدار جابه‌جایی لازم، زمان موردنیاز جهت بازشدن دریچه صورت گرفته است و با انتخاب مناسب مدل جک و وسائل مرتبط، دریچه در مدت زمانی کمتر از ۰/۲۸ ثانیه باز می‌شود. برای تأمین فشار هوای ورودی از کمپرسور هوای ۱۱۰ لیتری با قابلیت تولید بیشینه‌ی فشار ۸ بار در سیستم استفاده شده است. محل قرارگیری جک در فاصله‌ی ۱ متری از محل دریچه و به فاصله‌ی ۳ متری از کف آزمایشگاه و به صورت کاملاً جدا از سیستم فلوم و مخزن است، تا ایجاد نوسانات ناشی از حرکت سریع جک بر روی سطح آب مخزن جلوگیری شود.

چون فاصله‌ی کمپرسور تا اتصال به جک در حدود ۳ متر است، جهت جلوگیری از افت زیاد هوای فشرده، از یک مخزن کمکی در نزدیکی جک و به فاصله‌ی ۲۰ سانتی‌متری استفاده شده است، تا تقریباً افت فشار در لوله‌ها قابل اغماض باشد. برای تنظیم و کنترل حرکت جک، یک برنامه‌ی کامپیوتی در سیستم نرم‌افزاری Lab View نوشته شده است. نرم‌افزار موردنظر با استفاده از یک Data Logger که در پژوهش طراحی شده است با ابزارها ارتباط دارد و از این طریق قرائت و کنترل ابزارها صورت می‌پذیرد.

## ۵. وسائل اندازه‌گیری مدل فیزیکی

### ۱.۵. دستگاه آلتراسونیک

دستگاه آلتراسونیک با فرستادن صوت به سطح آب و محاسبه‌ی مدت زمان پرگشت، تغییرات سطح آب را در لحظات مختلف بدون تماس با سطح آب و ایجاد اغتشاش در آن برداشت می‌کند. در این پژوهش، برای اندازه‌گیری تغییرات سطح آب از ۴ عدد حسگر آلتراسونیک<sup>۲</sup> و ۲ عدد حسگر میکروسونیک<sup>۳</sup> استفاده شده است. در نرم‌افزاری که در Lab View نوشته شده است، علاوه بر کنترل جک پنوماتیکی، کنترل همه‌ی حسگرها و پمپ‌ها و مدارهای فرمان و نیز کالیبره کردن آنها صورت می‌پذیرد.

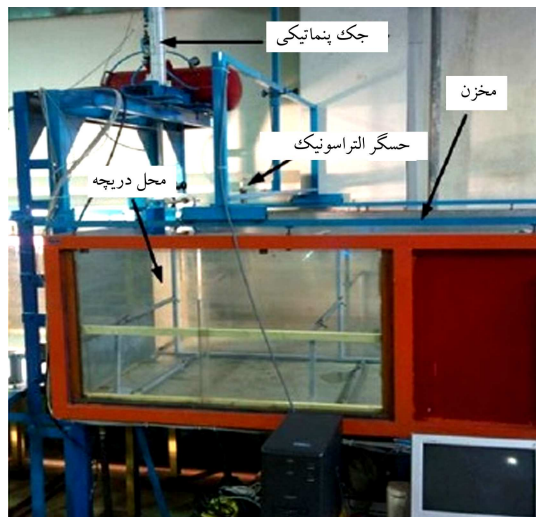
از لحظه دقت اندازه‌گیری حسگرها به صورت عدد متریک، حسگرهای آلتراسونیک با دقت  $2 \pm 0.12$  mm ولی حسگرهای میکروسونیک با دقت  $0.12 \pm 0.05$  mm هستند.

### ۲.۵. دستگاه اندازه‌گیری سرعت سنج ADV

برای اندازه‌گیری سرعت در نقاط مختلف کانال از سرعت سنج ADV استفاده شده است. این ابزار وسیله‌ی است که می‌تواند نوسانات سرعت را در یک بازه‌ی زمانی مشخص در ۳ راستای عمود بر هم ثبت و به کمک نرم‌افزار مربوط پردازش کند. در این دستگاه، ابتدا امواج صوتی با بسامدی مشخص به وسیله‌ی حسگری که در انتهای محور قائم آن قرار دارد، ارسال و انعکاس آن توسعه ۳ حسگر گیرنده دریافت می‌شود، که اختلاف بین بسامد ارسالی و بسامد دریافت شده مناسب با سرعت جریان است. سپس تحلیل اطلاعات توسط پردازشگر دستگاه که به رایانه متصل است، انجام و نمودار تغییرات سرعت در بازه‌ی زمانی مشخصی ترسیم می‌شود. همچنین برخی از عملیات آماری مانند محاسبه‌ی میانگین و واریانس نیز روی اطلاعات مربوط انجام می‌گیرد.

برای همه‌ی آزمایش‌ها یکسان و برابر با ۴۰ سانتی‌متر، و شرایط بستر در پایین دست خشک است.

اگر ارتفاع آب در بالادست را ۴۰ سانتی‌متر در نظر بگیریم، میزان زمان بازشدنی دریچه براساس معیار گفته شده باید از عدد  $0/28$  ثانیه کمتر شود. برای اینکه بتوان به چنین سرعتی در مقیاس آزمایشگاهی دست یافت، از جک‌های هوای فشرده<sup>۱</sup> و وسائل مربوط به آن استفاده شده است. جنس دریچه‌ی بی که به عنوان سد در نظر گرفته شده است، از یک صفحه‌ی پلکسی‌گلاس به ابعاد  $400 \times 400 \times 10$  (به ترتیب: طول - عرض - ضخامت) میلی‌متر براساس استانداردهای مدل سازی سد در آزمایشگاه است. علت انتخاب پلکسی‌گلاس، تولید اصطکاک سطحی کمتر با آب است. این صفحه در داخل شیاری که در دیواره‌ی مخزن تعییه شده است، به راحتی قابل حرکت است. به دلیل اینکه مقدار سرعت، نسبت مستقیم با میزان اصطکاک موجود در شیار با دریچه دارد، در داخل شیار از نوار آب‌بند لاستیکی دو تکه استفاده شده است؛ که ضمن تأمین آب‌بندی لازم، مقدار اصطکاک را در داخل شیار به صورت خطی تغییر می‌دهد و باعث تقلیل ضربی اصطکاک بین دریچه و نوار آب‌بندی می‌شود. برای جلوگیری از نشت تحتانی، دونوار آب‌بند  $5/5$  میلی‌متری زیر دریچه چسبانده شده است، که با دریچه قابل حرکت است. جهت روانی در



شکل ۲. نمایی کلی از تجهیزات آزمایشگاهی.



شکل ۳. نمونه‌ی از حسگر آلتراسونیک.

ADV استفاده شده است. آزمایش‌های سرعت برای نقاط مختلف در داخل فلوم به فاصله‌ی ۵۰، ۸۰، ۱۰۰، ۱۲۰ و ۱۵۰ سانتی‌متری از محل دریچه (موقعیت مدل سد) انجام شده است. دستگاه سرعت‌سنج در هر نقطه به صورت عمودی در ۴ عمق اقدام به اندازه‌گیری شده است تا بتوان پروفیل قائم سرعت را بدست آورد. این دستگاه همواره با درنظرگرفتن حجمی از آب، قادر به ثبت سرعت جریان در نقطه‌ی که ۵ سانتی‌متر پایین‌تر از حسگر فرستنده قرار دارد، است. در این نوشتار جریان برای نقطه‌ی به فاصله‌ی ۸۰ سانتی‌متری از دریچه مورد بررسی قرار گرفته است.<sup>[۱۶]</sup>

## ۷. تجزیه و تحلیل نتایج آزمایشگاهی

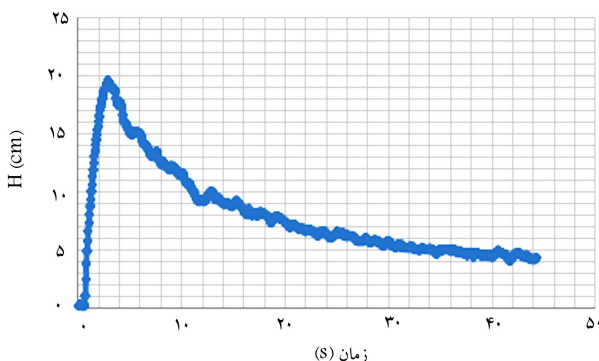
به دلیل داشتن سرعت در عمق‌های مختلف، سرعت متوسط برای هر نقطه طبق رابطه‌ی ۲ محاسبه شده است. براساس این روش، میانگین سرعت برای عمق‌های متفاوت که با  $\bar{u}$  نشان داده شده است، به صورت رابطه‌ی ۲ است:

$$\bar{u} = \frac{1}{h} \int_{z_1}^{z_2} u dz$$

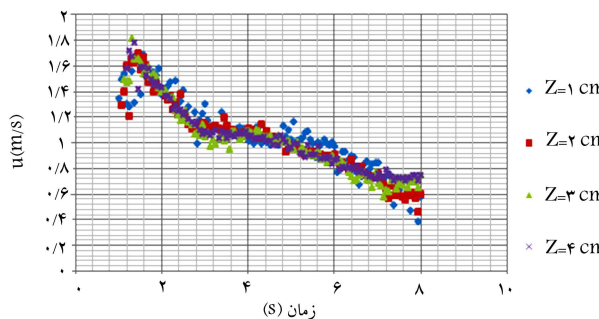
$$h = z_2 - z_1 \quad (2)$$

در شکل ۴، نمونه‌ی از تغییرات سطح آب سیالاب در فلوم با زمان برای مخزنی با ضریب شکل ۰،۹۵ در فاصله‌ی ۸۰ سانتی‌متری از دریچه نشان داده شده است. در شکل ۵، تغییرات سرعت با زمان در نقاط مختلف برداشت برای همین نقطه ترسیم شده است.

سرعت متوسط طبق رابطه‌ی ۲ محاسبه و تغییرات آن با زمان برای همین شرایط و همان نقطه در شکل ۶ ارائه شده است.



شکل ۴. تراز سطح آب در فاصله‌ی ۸۰ سانتی‌متری از دریچه برای مخزن با ضریب شکل ۰،۹۵.



شکل ۵. پروفیل سرعت در ۸۰ سانتی‌متری از دریچه.

این دستگاه همواره با درنظرگرفتن حجمی از آب، قادر به ثبت سرعت جریان در نقطه‌ی که ۵ سانتی‌متر پایین‌تر از حسگر فرستنده قرار دارد، است. بدین ترتیب برای به دست آوردن پروفیل سرعت در راستای قائم، مقادیر سرعت فقط تا ۵ سانتی‌متری سطح آب قابل برداشت هستند.

## ۶. نحوه‌ی انجام آزمایش‌ها

برای محاسبه‌ی ضریب شکل از رابطه‌ی که در مطالعات پیشین،<sup>[۷]</sup> به دست آمده استفاده شده است (رابطه‌ی ۱):

$$S_f = \frac{W_b \times W_d \times H_d}{V_r} \quad (1)$$

که در آن  $V_r$  حجم مخزن مورد بررسی،  $W_b$  عرض بالای شکست سد،  $W_d$  عرض بالایی سد،  $H_d$  ارتفاع کل سد، و  $S_f$  ضریب مربوط به تأثیر شکل هندسی است.

جدول ۱، مشخصات شکل‌های مورد مطالعه برای مخزن را نشان می‌دهد.<sup>[۱۶]</sup>

در این پژوهش، مخازن ذوزنقه‌ی و مستطیل شکل در نظر گرفته شده‌اند و ارتفاع سد در رابطه‌ی ۱ برای تمام شکل‌ها ثابت و برابر با ۴۰ سانتی‌متر است.

## ۱۶. آزمایش تراز سطح آب

اندازه‌گیری تراز سطح آب توسط حسگرهای آلتراسونیک و میکروسونیک صورت گرفته است. قبل از شروع آزمایش، جهت دقت کار، تمامی حسگرهای کالیبره و سپس با روشن کردن پمپ، مخزن تا ارتفاع ۴۰ سانتی‌متری پر شده است. به منظور حذف تلاطم و نوسانات سطح مخزن اندکی باید صبر کرد تا آب ساکن و سطح مخزن ثابت شود. سپس با کمک نرم‌افزار مربوط جهت بازشدن سریع دریچه اقدام و در فاصله‌ی زمانی بسیار کوتاه توسط جک مربوط، دریچه به بالا کشیده و در حقیقت فرایند شکست ناگهانی سد شروع و آب وارد فلوم می‌شود و حسگرهای شروع به برداشت داده می‌کنند. در نتیجه تغییرات تراز سطح آب با زمان پس از بازشدن دریچه یا در واقع همان شکست سد به دست می‌آید. بررسی تراز سطح آب پس از جاری شدن سیالاب در داخل فلوم برای نقاط مختلف و با فاصله‌ی متفاوت از دریچه انجام شده است.

## ۲۰. آزمایش اندازه‌گیری سرعت

برای اندازه‌گیری سرعت جریان ناشی از شکست سد، در این پژوهه از دستگاه

جدول ۱. مشخصات شکل‌های مورد مطالعه.

شماره‌ی شکل	نوع شکل	ضریب شکل	مساحت شکل ( $m^2$ )
۱	ذوزنقه + مستطیل	۰،۰۴۰	۶,۳۹۰
۲	ذوزنقه + مستطیل	۰،۰۶۳	۴,۱۲۸
۳	ذوزنقه	۰،۰۹۵	۲,۷۶۳
۴	ذوزنقه	۰,۱۴۶	۱,۷۹۸
۵	ذوزنقه	۰,۱۹۵	۱,۳۳۴
۶	ذوزنقه	۰,۳۳۷	۰,۷۷۱
۷	ذوزنقه	۰,۵۵۷	۰,۴۶۷

جدول ۲. دبی بیشینه برای ضرایب شکل مخزن در فاصله‌ی ۸۰ سانتی‌متری دریچه ( محل سد).

$S_f$	$Q_{peak} \text{ (m}^3/\text{s)}$
۰/۵۵۷	۰/۳۳۷
۰/۰۵۵۰۶	۰/۰۷۲۹۸
۰/۱۰۸۱۵۴	۰/۱۰۱۲۵
۰/۱۲۷۶	۰/۱۲۷۶
۰/۱۳۳۴	۰/۱۸۰۵۹
۰/۰۹۵	۰/۰۴۰
۰/۰۶۳	۰/۰۴۰
۰/۱۴۶	۰/۱۴۶
۰/۱۹۵	۰/۱۹۵
۰/۳۳۷	۰/۰۵۵۷

جدول ۳. عدد فرود به دست آمده برای ضرایب شکل مخزن در فاصله‌ی ۸۰ سانتی‌متری دریچه.

$S_f$	$A \text{ cm}^2$
۰/۰۹۵	۰/۰۴۰
۰/۰۶۳	۰/۰۴۰
۰/۱۴۶	۰/۱۴۶
۰/۱۹۵	۰/۱۹۵
۰/۳۳۷	۰/۰۵۵۷
۰/۱۲۷۶	۰/۱۳۶۲۷۹
۰/۱۸۰۵۹	۰/۱۸۰۶۳۳
۰/۰۴۰	۰/۲۰۱۸۲
۰/۰۶۳	۰/۲۵۰۶۰۵
۰/۱۴۶	۰/۳۱۵۸۲۴
۰/۱۹۵	۰/۳۳۰۱۷۹
۰/۰۹۵	۰/۴۴۶۹۷۹

سد، برای مخزنی با ضریب شکل ۴، دبی اوج بیشتری نسبت به سایر شکل‌های مخزن دارد.

باتوجه به در دست داشتن تغییرات تراز سطح آب با زمان و نیز تغییرات سرعت میانگین با زمان، هیدروگراف دبی خروجی در هر زمان طبق معادله‌های ۳ و ۴ محاسبه شده است:

$$Q_t = U_t \cdot A \quad (3)$$

$$A = b \cdot h_t \quad (4)$$

که در آن،  $b$  عرض کانال و در تمام آزمایش‌ها ثابت و برابر با ۵۱ سانتی‌متر است. در

جدول ۲، بیشینه‌ی دبی به دست آمده برای هر ضریب شکل مخزن ارائه شده است.

در شکل ۷، مقایسه‌ی دبی پیک برای ضرایب شکل مخزن، هیدروگراف به دست آمده برای تمامی ضرایب شکل در نقطه‌ی ۸۰ سانتی‌متری از دریچه مشاهده می‌شود.

مشاهدات جریان نشان می‌دهد که هیدروگراف خروجی جریان ناشی از شکست



شکل ۶. سرعت متوسط برای مخزن با ضریب شکل ۰/۹۵ در فاصله‌ی ۸۰ سانتی‌متری.

بس از به دست آوردن دبی پیک با توجه به معادله‌ی ۵، مقدار عدد فرود با در

دست داشتن ضرایب شکل مخزن به دست می‌آید. مقادیر به دست آمده در این مطالعه در جدول ۳ ارائه شده است:

$$F = \frac{Q_p}{(W_b)(gD_b)^{0.5}} \quad (5)$$

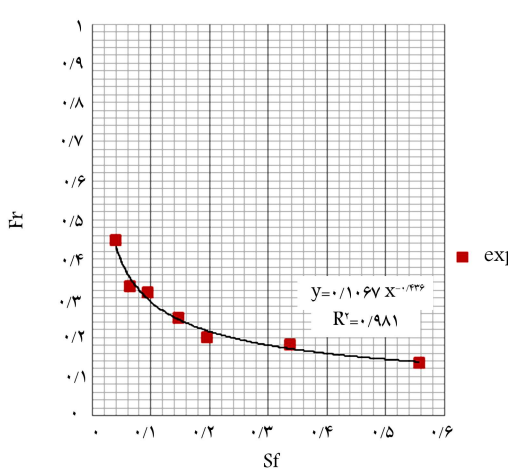
در رابطه‌ی ۵، دبی پیک خروجی،  $W_b$  عرض بالایی شکست،  $g$  شتاب گرانی،  $D_b$  بیشینه‌ی عمق شکست است. مقادیر جدول ۳ در شکل ۸، نشان داده شده است.

با توجه به شکل ۸، رابطه‌ی ۶ که حاصل از نتایج آزمایش‌گاهی این پژوهش است، نشان‌دهنده‌ی رابطه‌ی بین عدد فرود با عدد ضریب شکل مخزن است:

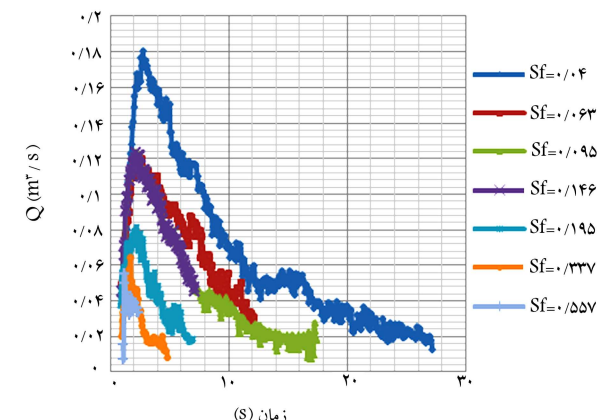
$$F = 0/1067 S_f^{-0.436} \quad (6)$$

نتایج حاصل از این پژوهش با رابطه‌ی ۷، که از مطالعات طاهرشنسی و همکاران در سال ۲۰۰۴ براساس جمع‌آوری داده‌های محدود از شکست چند سد واقعی به دست آمده است،<sup>[۶]</sup> مورد مقایسه قرار گرفته است:

$$F = 0/0089 S_f^{-0.7648} \quad (7)$$



شکل ۸. نمودار بین عدد فرود و ضریب شکل مخزن حاصل از مدل آزمایش‌گاهی مطالعه شده.



شکل ۷. هیدروگراف جریان شکست سد برای ضرایب شکل مخزن در فاصله‌ی ۸۰ سانتی‌متری دریچه.

نتایج آزمایشگاهی با مقادیر واقعی تا حدود زیادی می‌تواند ناشی از دلیل اخیر باشد. در هر صورت وجود چنین اختلافاتی بیان‌گر این واقعیت است که تا حصول به یک نتیجه‌ی دقیق، معتبر، و فراگیر هنوز به مطالعات و پژوهش‌های بیشتر و کامل‌تری نیاز است، تا بتوان رابطه‌ی نسبتاً دقیق تر و قابل قبول از نظر کاربردی ارائه داد.

## ۹. نتیجه‌گیری

به منظور بررسی اثر ضربی شکل مخزن سد در دبی سیلاپ ناشی از شکست سد، یک مدل فیزیکی در آزمایشگاه ساخته و به کمک آن مخازنی با شکل‌های هندسی با ۷ ضربی شکل مختلف بررسی شده است. پدیده‌ی شکست ناگهانی سد با تطبیه‌ی یک دریچه در دیواره‌ی مخزن، که با سرعت زیاد قابل بالا رفتن بود، ایجاد و روذخانه‌ی پایین دست به وسیله‌ی یک فلوم با مقطع مستطیل شکل به طولی حدود ۹ متر شبیه‌سازی شده است. نوسانات سطح آب و نیز سرعت جریان در نقاط مختلف فلوم پس از رخداد سیلاپ اندازه‌گیری و به کمک داده‌های به دست آمده در دبی بیشینه‌ی سیلاپ و هیدروگراف مربوط تعیین شده است. آنگاه عدد فرود برای هر حالت محاسبه و رابطه‌ی میان عدد فرود و ضربی شکل استخراج شده است. رابطه‌ی به دست آمده بین ضربی شکل و عدد فرود، در مقایسه با رابطه‌ی به دست آمده در گذشته متعلق به موارد محدودی از پدیده‌ی شکست چند سد واقعی نشان داده است که روند تغییرات، سازگاری مناسبی با نتایج مدل آزمایشگاهی دارد، معنالک اختلافات فاحش میان نتایج واقعی و مدل آزمایشگاهی میان این واقعیت است که برای دستیابی به نتایجی واقع‌گرایانه، دقیق تر، و فراگیر به مطالعات و پژوهش‌های بیشتر و جامع‌تری در این زمینه و نیز اصلاح و تکمیل مدل آزمایشگاهی به گونه‌یی که تعداد بیشتری از عوامل و پارامترهای مهم و اثربدار در دبی یک ناشی از سیلاپ شکست سدها را در برگیرد، نیاز است.

جدول ۴. مقایسه‌ی دبی حاصل از آزمایش با دبی محاسبه شده از رابطه‌ی ۵.

$S_f$	$Q_{exp}$ (m³/s)	$Q$ (m³/s)
۰,۰۴۰	۰,۱۸۰۵۹	۰,۰۴۲۶
۰,۰۶۳	۰,۱۳۳۴	۰,۰۳۰۰
۰,۰۹۵	۰,۱۲۷۶	۰,۰۲۹۲
۰,۱۴۶	۰,۱۰۱۲۵	۰,۰۱۵۷
۰,۱۹۵	۰,۰۸۱۵۴	۰,۰۱۲۶
۰,۲۳۷	۰,۰۷۲۹۸	۰,۰۰۸۳
۰,۵۵۷	۰,۰۵۵۰۶	۰,۰۰۰۵۶

برای هر ضربی شکل مخزن، از روابط ۶ و ۷ عدد فرود محاسبه و با انجام آنالیز معکوس دبی بیشینه‌ی متاظر از معادله‌ی ۵ محاسبه شده است. نتایج حاصل در جدول ۴ ارائه شده است. همان‌گونه که ملاحظه می‌شود، علی‌رغم سازگار و مشابه بودن روند تغییرات در نتایج حاصل از دو رابطه‌ی مذکور، اختلاف در کمیت‌ها و مقاییر به دست آمده بسیار زیاد و کاملاً تأمل برانگیز است. برخی از این اختلافات می‌تواند به دلیل کم و محدود بودن داده‌های میدانی و نیز تنوع و تعدد پارامترها و عوامل مؤثر در این پدیده باشد. عامل بعدی می‌تواند ساده‌سازی‌های بسیاری باشد که در ساخت مدل فیزیکی (جای‌گزینی هندسه و توپوگرافی نامنظم و پیچیده‌ی مخزن، رودخانه‌های پایین دست سدهای واقعی با شکل‌های منظم هندسی، و توپوگرافی صفر در آزمایشگاه، حذف و یا کاهش قابل ملاحظه اصطکاک، و عوارض اثرگذارک و جذاره‌ها بر جریان در مدل‌های فیزیکی در مقایسه با سدهای واقعی، و شکست سد در حالت تدریجی) در یک مطالعه‌ی آزمایشگاهی صورت گرفته است. بالاتر بودن

## پانوشت‌ها

1. pneumatic
2. Ultrasonic
3. Microsonic

## منابع (References)

1. Dressler, R.F. "Comparison of theories and experiments for the hydraulic dam-break wave", *Int. Assoc. Sci. Hydraul.*, **38**, pp. 319-328 (1954).
2. Bell, W.S., Elliot, R.C. and Chaudhry, M.F. "Experimental results of two-dimensional dam-break flows", *J. Hydraul. Res.*, **30**(2), pp. 225-252 (1992).
3. Lauber, G. and Hager, W.H. "Experiments to dam-break wave: Horizontal channel", *J. Hydraul. Res.*, **36**(3), pp. 291-307 (1998a).
4. Soares, F.S. and Zech, Y. "Dam break in channels with 90 bend", *J. Hydraul. Eng.*, **128**(11), pp. 956-968 (2002).
5. Nsom, B. "Horizontal viscous dam-break flow: Experiments and theory", *J. Hydraul. Eng.*, **128**(5), pp. 543-546 (2002).
6. Taher-Shamsi, A. and Shetty, A. "Embankment dam breaching geometry and peak outflow characteristics", *J. Dam Engineering*, **5-2**(1), pp. 72-87 (2004).
7. Chanson , H., Jarny, S. and Coussot, P. "Dam break wave of thixotropic fluid", *Journal of Hydraulic Engineering*, **132**(3), pp. 280-293 (2006).
8. Soares, F.S. "Experiments of dam-break wave over a triangular bottom sill", *J. Hydraul. Res.*, **45**(1), Extra Issue, pp. 19-26 (2007).
9. Weiming, W., Sam, S. and Wang, Y. "One-dimensional modeling of dam-break flow over movable beds", *J. Hydraulic Eng.*, *ASCE*, **133**(1), pp. 48-58 (2007).
10. Spinewine, B. and Zech, Y. "Small-scale laboratory dam-break waves on movable beds", *Journal of Hydraulic Research*, **45**(1), Extra Issue, pp. 73-86 (2007).
11. Aureli, F. and et.al. "Dam-break flows: Acquisition of experimental data through an imaging technique and 2D numerical modeling", *Journal of Hydraulic Engineering*, **134**(8), pp. 1089-1101 (2008).

12. Bukreev, V.I., Degtyarev, V.V. and Chebotnikov, A.V. "Experimental verification of methods for calculating partial dam-break waves", *Journal of Applied Mechanics and Technical Physics*, **49**(5), pp. 754-761 (2008).
13. Leal, G.A.B., Ferreira, M.L. and Cardoso, A.H. "Maximum level and time to peak of dam-break waves on mobile horizontal bed", *Journal of Hydraulic Engineering*, **135**(11), pp. 995-999 (2009).
14. Duarte, R. and et.al. "Experimental study on dam-break waves for silted-up reservoirs", *Journal of Hydraulic Engineering*, **137**(11), pp. 1385-1393 (2011).
15. Feizi Khankandi, A., Tahershamsi, A. and Soares, F.S. "Experimental investigation of reservoir geometry effect on dam-break flow", *Journal of Hydraulic Research*, **50**(4), pp. 376-387 (2012).
16. Mirmohammad Hosseini, T. "The relationship between the dams reservoir shape factor and the maximum dam-break flow", Master's thesis, Amirkabir University of Technology, Tehran (2012).